

3. Rodin, A. S. Strain-Induced Gap Modification in Black Phosphorus / A. S. Rodin, A. Carvalho, A. H. Castro Neto // Phys. Rev. Lett. – 2014. – №112. – 176801-5.

4. Kresse, G. VASP the guide: tutorial / G. Kresse, M. Marsman, J. Furthmüller – Vienna: University of Vienna, 2014 – 209 p.

5. Li, X.-B. Structures, stabilities, and electronic properties of defects in monolayer black phosphorus / X.-B. Li, P. Guo, T.-F. Cao, H. Liu, W.-M. Lau, L.-M. Liu // Scientific Reports. – 2015. – №5. – 10848-11.

6. Guo, Y. Vacancy and Doping States in Monolayer and bulk Black Phosphorus / Y. Guo, J. Robertson // Scientific Reports. – 2015. – № 5. – 14165-10.

**А.И. Толкачёв** (УО «ГГУ имени Ф. Скорины», Гомель)  
Науч. рук. **В.Н. Капшай**, канд. физ.-мат. наук, доцент

## ЗАДАЧИ НА СОБСТВЕННЫЕ ЗНАЧЕНИЯ В ЦИЛИНДРИЧЕСКИХ КООРДИНАТАХ

1. Как известно, многие задачи акустики, электродинамики и квантовой механики для звуковых, электромагнитных и других полей сводятся к решению уравнения Гельмгольца в ограниченных областях:

$$\Delta + k^2 \Psi(\vec{x}) = 0; \quad \vec{x} \in G. \quad (1)$$

При этом на поверхности  $\Sigma$ , ограничивающей область  $G$ , должны выполняться граничные условия (ГУ), например Дирихле или Неймана:

$$(ГУ)_1 \quad U(\vec{x})|_{\vec{x} \in \Sigma} = 0; \quad (ГУ)_2 \quad \partial U(\vec{x}) / \partial \vec{n}|_{\vec{x} \in \Sigma} = 0, \quad (2)$$

где  $\vec{n}$  – внешняя нормаль к поверхности  $\Sigma$ . Такие задачи являются задачами на собственные значения (СЗ), – они имеют решения не при всех значениях параметра  $k^2$ , а только при некоторых:  $k_n^2$ . Например, для заключённой внутри поверхности  $\Sigma$  квантовой частицы массы  $m_0$ , которая описывается стационарным уравнением Шрёдингера [1,2]

$$-(\hbar^2/2m_0)\Delta + U(\vec{x}) \Psi(\vec{x}) = E \cdot \Psi(\vec{x}); \quad U(\vec{x}) = 0; \quad \vec{x} \in G; \quad U(\vec{x}) = \infty; \quad \vec{x} \notin G, \quad (3)$$

имеем ГУ Дирихле, а СЗ энергии  $E_n = \hbar^2 k_n^2 / 2m_0$ . В данной работе сконцентрируем внимание на задачах для областей, которые удобно рассматривать в цилиндрических координатах.

Для решения уравнения Гельмгольца воспользуемся методом разделения переменных. Для оператора Лапласа и функции  $\Psi(\vec{x})$  имеем

$$\Delta = \Delta_\rho + \frac{1}{\rho^2} \frac{\partial^2}{\partial \varphi^2} + \frac{\partial^2}{\partial z^2}; \quad \Psi(\vec{x}) = \Psi(\rho, \varphi, z) = R(\rho)\Phi(\varphi)Z(z), \quad (4)$$

поэтому нетрудно получить равенство

$$\frac{\Delta_\rho R(\rho)}{R(\rho)} + \frac{1}{\rho^2} \frac{\Phi''(\varphi)}{\Phi(\varphi)} + \frac{Z''(z)}{Z(z)} + k^2 = 0. \quad (5)$$

Из (5) следуют три обыкновенных дифференциальных уравнения:

$$Z''(z) = -\kappa^2 Z(z); \quad \Phi''(\varphi) = -\nu^2 \Phi(\varphi), \quad (6)$$

$$\rho^2 \Delta_\rho - \nu^2 + \gamma^2 \rho^2 R(\rho) = 0, \quad (7)$$

где  $\gamma^2 = k^2 - \kappa^2$ , а  $\kappa^2$  и  $\nu^2$  – константы разделения переменных.

Общие решения уравнений (6)-(7) имеют вид

$$Z(z) = A_\kappa \cos \kappa z + B_\kappa \sin \kappa z, \quad (8)$$

$$\Phi(\varphi) = A_\nu \cos \nu \varphi + B_\nu \sin \nu \varphi, \quad (9)$$

$$R(\rho) = C_\nu J_\nu(\gamma \rho) + D_\nu N_\nu(\gamma \rho), \quad (10)$$

где  $J_\nu(z)$  ( $N_\nu(z)$ ) – функции Бесселя (Неймана). Таким образом, имеем решения уравнения Гельмгольца в цилиндрических координатах в виде

$$\Psi(\vec{x}) = C_\nu J_\nu(\gamma \rho) + D_\nu N_\nu(\gamma \rho) A_\nu \cos \nu \varphi + B_\nu \sin \nu \varphi A_\kappa \cos \kappa z + B_\kappa \sin \kappa z. \quad (11)$$

Далее рассмотрим конкретные области и найдём к каким следствиям приводят граничные условия.

**2.** Начнём с цилиндрической области (рис. 1)

$$G = 0 \leq \rho \leq \rho_0; \quad 0 \leq \varphi \leq 2\pi; \quad 0 \leq z \leq z_0. \quad (12)$$

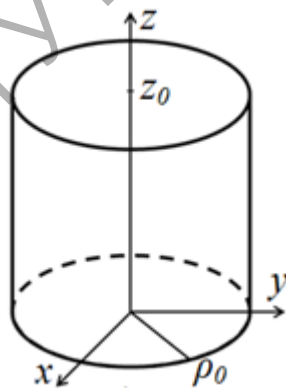


Рисунок 1 – Системы координат в цилиндрической области

Из ГУ Дирихле имеем для функций  $Z(z)$ ;  $\Phi(\varphi)$  и  $R(\rho)$  условия

$$Z(0) = 0; Z(z_0) = 0; \Phi(2\pi) = \Phi(0); \Phi'(2\pi) = \Phi'(0); |R(\rho)| < \infty; R(\rho_0) = 0. \quad (13)$$

Из условий (13) для функции (8), нормируя её на единицу, имеем:

$$\kappa = \kappa_l = l\pi/z_0; \quad A_l = 0; \quad Z_l(z) = \sqrt{2/z_0} \sin l\pi z/z_0; \quad l = 1, 2, 3, \dots \quad (14)$$

Для описывающих азимутальную зависимость функций  $\Phi(\varphi)$  имеем  $\nu = \nu_m = m$ ,  $m = 1, 2, 3, \dots$  и две возможности (при  $\nu = 0$  – одну):

$$\Phi_m^{(c)}(\varphi) = \sqrt{1/\pi} \cos m\varphi; \quad \Phi_m^{(s)}(\varphi) = \sqrt{1/\pi} \sin m\varphi. \quad (15)$$

Условию  $|R(\rho)| < \infty$  в начале координат удовлетворяют только функции Бесселя (функции Неймана имеют логарифмическую особенность), поэтому (при  $\nu = m$ )  $D_m = 0$  и  $R(\rho) = C_m J_m(\gamma\rho)$ , причём должно выполняться условие Дирихле на боковой поверхности цилиндра

$$R(\rho_0) = C_m J_m(\gamma\rho_0) = 0. \quad (16)$$

Это условие означает, что

$$\gamma = \gamma_n^{(m)} = \mu_n^{(m)} / \rho_0, \quad n = 0, 1, 2, 3, \dots, \quad (17)$$

где  $\mu_n^{(m)}$  – корни функций Бесселя индекса  $m$ , для больших значений номеров корней  $n$  их приближённые значения [3]

$$\mu_n^{(m)} \cong 3\pi/4 + \pi m/2 + n\pi. \quad (18)$$

Константы  $C_m$  определяются из условия нормировки

$$\int_0^{\rho_0} |R(\rho)|^2 \rho d\rho = 1. \quad (19)$$

Таким образом, волновые функции квантовомеханической частицы, находящейся внутри цилиндрического ящика, имеют вид

$$\Psi_{nml}^{(c,s)}(\rho, \varphi, z) = C_n^{(m)} J_m(\mu_n^{(m)} \rho / \rho_0) \Phi_m^{(c,s)}(\varphi) Z_l(z). \quad (20)$$

Соответствующие собственные значения энергии таковы:

$$E_{nml} = \hbar^2 k_{nml}^2 / 2m_0; \quad k_{nml}^2 = l\pi/z_0^2 + \mu_n^{(m)} / \rho_0^2. \quad (21)$$

3. Рассмотрим теперь область  $G$  в виде клина (рис. 2):

$$G = 0 \leq \rho \leq \rho_0; \quad 0 \leq \varphi \leq \varphi_0; \quad 0 \leq z \leq z_0. \quad (22)$$

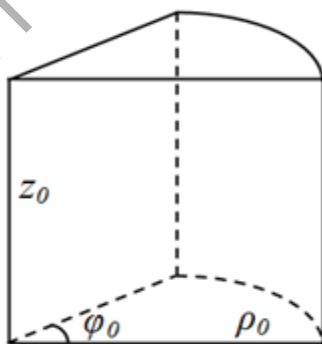


Рисунок 2 – Клиновидная область в цилиндрических координатах

Для такой области из ГУ Дирихле для функций (8)–(10) имеем

$$Z(0) = 0; \quad Z(z_0) = 0; \quad \Phi(0) = 0; \quad \Phi(\varphi_0) = 0; \quad |R(\rho)| < \infty; \quad R(\rho_0) = 0. \quad (23)$$

Функции  $Z(z)$  будут иметь тот же вид  $Z_l(z)$  (14). Для описывающих азимутальную зависимость функций  $\Phi(\varphi)$  имеем  $\nu = \nu_m = m\pi/\varphi_0$ ,  $m = 1, 2, \dots$  и одну возможность

$$\Phi_{\nu_m}^{(s)}(\varphi) = \sqrt{2/\varphi_0} \sin \nu_m \varphi = \sqrt{2/\varphi_0} \sin m\pi \varphi / \varphi_0. \quad (24)$$

Радиальная зависимость теперь будет описываться функциями Бесселя индексов  $\nu_m$ , корни которых  $\mu_n^{(\nu_m)}$ , а приближённые значения корней

$\mu_n^{(\nu_m)} \cong 3\pi/4 + \pi\nu_m/2 + n\pi$ . При этом волновые функции имеют вид

$$\Psi_{nml}^{(s)}(\rho, \varphi, z) = C_n^{(\nu_m)} J_{\nu_m} \mu_n^{(\nu_m)} \rho / \rho_0 \Phi_{\nu_m}^{(s)}(\varphi) Z_l(z). \quad (25)$$

Соответствующие СЗ энергии описываются формулами (21), в которых  $\mu_n^{(m)}$  заменяется на  $\mu_n^{(\nu_m)}$ .

Рассмотрим некоторые частные случаи клина (рисунок 3).

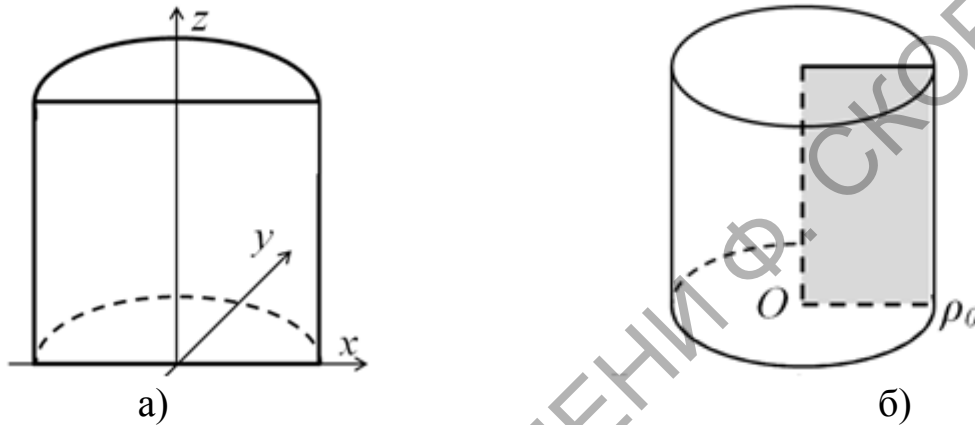


Рисунок 3 – Частные случаи клина  
а) – полуцилиндр; б) – цилиндр с перегородкой

При  $\varphi_0 = \pi$  область  $G$  имеет вид полуцилиндра (рисунок 3 а). Для функций  $\Phi(\varphi)$  в этом случае имеем

$$\nu = \nu_m = m\pi/\pi = m, \quad m = 1, 2, \dots, \quad (26)$$

$$\Phi_{\nu_m}^{(s)}(\varphi) = \sqrt{2/\pi} \sin \nu_m \varphi.$$

СЗ энергии даются формулами (21), а волновые функции имеют вид

$$\Psi_{nml}^{(s)}(\rho, \varphi, z) = C_n^{(m)} J_m \mu_n^{(m)} \rho / \rho_0 \Phi_{\nu_m}^{(s)}(\varphi) Z_l(z). \quad (27)$$

Подчеркнём, что спектры энергий квантовой частицы в цилиндре и частицы в полуцилиндре одинаковы.

В случае цилиндра с перегородкой имеем область  $G$  в виде (рисунок 3 б):

$$G = 0 \leq \rho \leq \rho_0; \quad 0 < \varphi < 2\pi; \quad 0 \leq z \leq z_0. \quad (28)$$

Поскольку  $\varphi_0 = 2\pi$ , то  $\nu = \nu_m = m/2$ ,  $m = 1, 2, \dots$ , азимутальные функции  $\Phi_{m/2}^{(s)}(\varphi) = \sqrt{1/\pi} \sin m\varphi/2$ , а волновые функции и СЗ энергии таковы:

$$\Psi_{nml}^{(s)}(\rho, \varphi, z) = C_n^{(m/2)} J_{m/2} \mu_n^{(m/2)} \rho / \rho_0 \Phi_{m/2}^{(s)}(\varphi) Z_l(z), \quad (29)$$

$$E_{nml} = \hbar^2 k_{nml}^2 / 2m_0; \quad k_{nml}^2 = l\pi/z_0^2 + \mu_n^{(m/2)} / \rho_0^2. \quad (30)$$

Здесь  $\mu_n^{(m/2)}$  – корни функций Бесселя полуцелых индексов, их приближённые значения таковы:  $\mu_n^{(m/2)} = 3\pi/4 + m\pi/4 + n\pi$ . Отметим, что в случае значения  $m = 1$  формула

$$\mu_n^{(1/2)} = 3\pi/4 + \pi/4 + n\pi = (n+1)\pi, \quad n = 0, 1, 2, 3, \dots \quad (31)$$

для корней функции Бесселя и формула для СЗ энергии являются точными.

### Литература

1. Мессиа, А. Квантовая механика: в 2-х т. / А. Мессиа. – М. : Наука, 1978. – Т. 1. – С. 79–81.
2. Коэн-Таннуджи, К. Квантовая механика: в 2-х т. / К. Коэн-Таннуджи, Б. Диу, Ф. Лалоз. – М. : УРСС: ЛЕНАНД, 2015. – Т. 1. – С. 861–866.
3. Владимиров, В.С. Уравнения математической физики / В.С. Владимиров. – М. : Наука, 1988. – С. 332–365.

**А.Г.Трафименко (УО «БГУИР», Минск)**

Научн. рук. **А.Л. Данилюк**, канд. физ.-мат. наук, доцент

### **ЭМИССИЯ ЭЛЕКТРОНОВ В ПРОВОДЯЩИХ КАНАЛАХ ДИОКСИДА ГАФНИЯ, ОБРАЗОВАННЫХ В РЕЗУЛЬТАТЕ ЭЛЕКТРИЧЕСКОГО ПРОБОЯ**

В настоящее время наноструктуры на основе диоксида гафния перспективны для применения в энергонезависимой резистивной памяти с произвольной выборкой (RRAM). Однако, остается еще много нерешенных задач, наиболее важными из которых являются выявление механизма переключения диоксида гафния из высокоомного в низкоомное состояние, идентификация механизмов токопереноса при наличии высокой концентрации ловушек, определение вклада тепловых процессов. В данной работе, исходя из механизма формирования проводящих каналов (филаментов) при электрическом пробое, рассмотрена модель эмиссии электронов в них. Проводящие каналы формируются путем сильного разогрева вещества в них при электрическом пробое, последующем остывании и формировании вакуумных и метастабильных областей [1]. При этом часть материала катода попадает в канал, образуя заостренный катод. Токоперенос осуществляется путем эмиссии электронов из катода в вакуумный промежуток и последующего взаимодействия их с метастабильной областью у анода.